

PERSPECTIVES

- 133 **Tincture of Time: A Vital Ingredient for Dental Success**
T.E. Donovan, DDS, Harald O. Heymann, DDS, MEd

CONTEMPORARY ISSUES

- 136 **Temporary Restoration of Maxillary Lateral Incisor Implant Sites**
Vincent G. Kokich, DDS, MSD, Edward J. Swift, JR., DMD, MS

ORIGINAL ARTICLES

- 138 **An Esthetic Solution to the Screw-Retained Implant Restoration: Introduction to the Implant Crown Adhesive Plug: Clinical Report**
Chandur Wadhvani, BDS, MSD, Alfonso Piñeyro, DDS, Jurijs Avots, CDT
- 144 **Commentary**
Brahm A. Miller, DDS, MSc
- 146 **Current Status and Perspectives of Mucogingival Soft Tissue Measurement Methods**
Dr. Valerie Ronay, Dr. Philipp Sahrmann, PD Dr. Andreas Bindl, Prof. Dr. Thomas Attin, PD Dr. Patrick R. Schmidlin
- 157 **Commentary**
Edward P. Allen, DDS, PHD
- 158 **Effect of Home-Use and In-Office Bleaching Agents Containing Hydrogen Peroxide Associated with Amorphous Calcium Phosphate on Enamel Microhardness and Surface Roughness**
Daniel Rodrigues de Abreu, DDS, Robson Tetsuo Sasaki, DDS, Flávia Lucisano Botelho Amaral, DDS, MS, Flávia Martão Flório, DDS, MS, SCD, Roberta Tarkany Basting, DDS, MS, PHD
- 169 **Commentary**
Luiz Andre Pimenta, DDS, MS, PHD
- 171 **Flow Profile of Regular and Fast-Setting Elastomeric Impression Materials Using a Shark Fin Testing Device**
Nathaniel C. Lawson, MS, Deniz Cakir, DDS, MS, Lance Ramp, DMD, PHD, John O. Burgess, DDS, MS
- 177 **Commentary**
Huma Hamid, DDS
- RESEARCH ARTICLE
- 179 **Color Changes of Dental Resin Composites before and after Polymerization and Storage in Water**
Esra Uzer Çelik, DDS, PHD, Akin Aladağ, DDS, PHD, L. Şebnem Türkün, DDS, PHD, Gökhan Yılmaz, DDS, PHD
- 189 **Commentary**
William M. Johnston, PHD
- CRITICAL APPRAISAL
- 191 **Visible Light-Curing**
Edward J. Swift, JR., DMD, MS

Journal of Esthetic and Restorative Dentistry

Vol. 23 No. 3 (2011)

**ORAL SURGERY, ORAL MEDICINE, ORAL PATHOLOGY, ORAL RADIOLOGY, &
ENDODONTICS**

VOLUME 111 NUMBER 5 PGS. 535-668 MAY 2011

The patient comes first. Editorial pg. 535 Precious, D.S.CM.

Diagnostic criteria for unicystic ameloblastoma: ameloblastic versus ameloblastomatous epithelium. Letter pg. 536 Slater, L.J.

Response to Letter to the Editor: Diagnostic criteria for unicystic ameloblastoma: ameloblastic versus ameloblastomatous epithelium. Letter pg. 536-538 Black, C.C.

Histomorphometric analysis of different latency periods effect on new bone obtained by periosteal distraction: an experimental study in the rabbit model. pg. 539-546 Altug, H.A.; Aydintug, Y.S.; Sencimen, M.

Anatomy of impacted lower third molars evaluated by computerized tomography: is there an indication for 3-dimensional imaging?. pg. 547-550 Lubbers, H.T. ; Matthews, F.; Damerau, G.

Simvastatin-loaded porous implant surfaces stimulate preosteoblasts differentiation: an in vitro study. pg. 551-556 Yang, F.; Zhao, S.; Zhang, F.

Prevention of relapse following intraoral vertical ramus osteotomy mandibular setback: can coronoidotomy help?. pg. 557-560 Talesh, K.T.; Motamedi, M.H.K.; Yazdani, J.

Treatment of ankylosed maxillary central incisors by single-tooth dento-osseous osteotomy and alveolar bone distraction. pg. 561-567 Ohkubo, K.; Susami, T.; Mori, Y.

Autofluorescence imaging of potentially malignant mucosa lesions. pg. 568-577 Scheer, M.; Neugebauer, J.; Derman, A.

A patient-centered approach to developing a quality-of-life questionnaire for chronic oral mucosal diseases. pg. 578-586 Ni Riordain, R.; Meaney, S.; McCreary, C.

Pain may predict poor prognosis in patients with oral squamous cell carcinoma. pg. 587-592 Sato, J.; Yamazaki, Y.; Satoh, A.

Genetic alterations in oral squamous cell carcinoma progression detected by combining array-based comparative genomic hybridization and multiplex ligation-dependent probe amplification. pg. 594-607 Cha, J.D.; Kim, H.J.; Cha, I.H.

Primary cilia in the pathogenesis of dentigerous cyst: a new hypothesis based on role of primary cilia in autosomal dominant polycystic kidney disease. pg. 608-617 Anoop, U.R. ; Verma, K.; Narayanan, K.

Expression and regulation of amphiregulin in Gs[alpha]-mutated human bone marrow stromal cells of fibrous dysplasia of mandible. pg. 618-626 Jia, S.; Yu, J.; Zhang, D.

The efficacy of anticonvulsants on orofacial pain: a systematic review. pg. 627-633 Martin, W.; Forouzanfar, T.

Prevalence of pathologic findings in the maxillary sinus in cone-beam computerized tomography. pg. 634-640 Ritter, L.; Lutz, J.; Neugebauer, J.

An image-guided technique for puncture of the superior temporomandibular joint cavity: clinical comparison with the conventional puncture technique. pg. 641-648 Matsumoto, K. ; Bjornland, T.; Kai, Y.

Management of the fused permanent upper lateral incisor: a case report. pg. 649-652 Kim, S.Y.; Choi, S.C.; Chung, Y.

Influence of 2% chlorhexidine gel on calcium hydroxide ionic dissociation and its ability of reducing endotoxin. pg. 653-658 Signoretti, F.G. Correa; de Almeida Gomes, B.P. Figueiredo; Montagner, F.

Comparison of root canal preparation using reciprocating Safesiders stainless steel and Vortex nickel-titanium instruments. pg. 659-667 Rhodes, C.S. ; Hulsmann, M.; McNeal, S.F.

Erratum to: Comparison of gene expression of osteogenic factors between continuous and intermittent distraction osteogenesis in rabbit mandibular lengthening. pg. 668 Zheng, L.Wu; Ma, L.; Cheung, L. K.

**ORAL SURGERY, ORAL MEDICINE, ORAL PATHOLOGY, ORAL RADIOLOGY, &
ENDODONTICS**

VOLUME 111(6) PGS. 669-802 JUNE 2011

World Workshop on Oral Medicine V carries the tradition and lights a new torch.
Editorial pg. 669-670 Miller, C.S.

Dysesthesia of the inferior alveolar nerve. Letter pg. 671 Ngeow, W.C.

World Workshop on Oral Medicine V carries the tradition and lights a new torch.
Letter pg. 671-672 Nayak, R.N.

Genetics and genomics of Sjogren's syndrome: research provides clues to
pathogenesis and novel therapies. pg. 673-680 Segal, B.M.; Nazmul-Hossain, A.N.M.

Cone-beam computerized tomography evaluation of condylar changes and stability
following two-jaw surgery: Le Fort I osteotomy and mandibular setback surgery with
rigid fixation. pg. 681-687 Kim, Y.I.; Cho, B.H.; Jung, Y.H.

Maxillary segmental distraction in children with unilateral clefts of lip, palate, and
alveolus. pg. 688-692 Zemmann, W.; Pichelmayer, M.

Surgical treatment on displaced and dislocated sagittal fractures of the mandibular
condyle. pg. 693-699 Jing, J.; Han, Y.; Song, Y.

Stem cells isolated from human dental follicles have osteogenic potential. pg. 700-
708 Honda, M.J.; Imaizumi, M.; Suzuki, H.

Pseudogout of the temporomandibular joint: an uncommon cause of
temporomandibular joint pain and swelling. pg. 709-714 Sklenicka, S.; Dierks, E.J.;
Jarmin, J.

Quantification of HIV-1 viral load in the fluid of ranulas in HIV-positive patients. pg.
715-719 Syebele, K.; Butow, K.W.; Webber, L.

A retrospective, cohort study of the prevalence and risk factors of oral burning in
patients with dry mouth. pg. 720-725 Rouleau, T.S.; Shychuk, A.J.; Kayastha, J.

Candida spp. prevalence in well controlled type 2 diabetic patients with denture
stomatitis. pg. 726-733 Sanit, P.V.; Pavarina, A.C.; Giampaolo, E.T.

Review of metastasizing (malignant) ameloblastoma (METAM): pattern of metastasis
and treatment. pg. 734-741 Dissanayake, R.K.; Jayasooriya, P.R.; Siriwardena, D.J.

Chronic ulcerative stomatitis: evidence of autoimmune pathogenesis. pg. 742-748
Carlson, M.W.; Garlick, J.A. ; Solomon, L.

The immunohistochemical profile of oral inflammatory myofibroblastic tumors. pg.
749-756 Salgueiredo-Giudice, F.; Fornias-Sperandio, F.; Martins-Pereira, E.

Three-dimensional quantification of mandibular asymmetry through cone-beam
computerized tomography. pg. 757-770 Cevitanes, L.H.S.; Alhadidi, A.; Paniagua, B.

Optimization analysis for plane orientation in 3-dimensional cephalometric analysis
of serial cone-beam computerized tomography images. pg. 771-777 Lagravere, M.O.;
Secanell, M.; Major, P.W.

Effects of head and body positions on 2- and 3-dimensional configuration of the
oropharynx with jaw protruded: a magnetic resonance imaging study. pg. 778-784
Zhang, W.; Song, X.; Masumi, S.I.

Mesiobuccal root canal anatomy of Korean maxillary first and second molars by cone-
beam computed tomography. pg. 785-791 Lee, J.H.; Kim, K.D.; Lee, J.K.

Influence of curvature location along an artificial canal on cyclic fatigue of a rotary
nickel-titanium endodontic instrument. pg. 792-796 Lopes, H.P. ; Chiesa, W.M.M.;
Correia, N.R.

The ability of cone-beam computerized tomography to detect vertical root fractures
in endodontically treated and nonendodontically treated teeth: a report of 3 cases.
pg. 797-801 Zou, X.; Liu, D. ; Yue, L.

Erratum. pg. 802

ÍNDICE DE CONTENIDOS

PERIODONCIA Y OSTEointegración. Vol 21 Núm 2

EDITORIAL 83



85 *Entrevista con Moshe Goldstein: "Soy consciente del número creciente de publicaciones sobre las tasas de éxito de los implantes cortos, pero prefiero esperar a tener publicaciones con tasas de supervivencia a largo plazo"*

Jorge Serrano, David Herrera



91 *Influencia del ibuprofeno en la curación ósea en implantes dentales. Ensayo clínico aleatorizado doble ciego placebo-controlado*

Rami Alissa, Salah Sakka, Richard Oliver, Keith Homer, Marco Esposito, Helen V. Worthington, Paul Coulthard



105 *Uso de la terapia fotodinámica antimicrobiana en el tratamiento periodontal y periimplantario*

Narja Sahm, Frank Schwarz, Akira Aoki, Jürgen Becker



117 *Precaución en periodoncia en pacientes en tratamiento con antidepressivos inhibidores selectivos de la recaptación de serotonina (ISRS)*

Gerardo Gómez-Moreno, Maribel Cabrera, Tania Castillo, Antonio Aguilar, Javier Guardia, José Luis Calvo-Guirado



123 *Implantes inmediatos post-extracción: revisión de la literatura*
Olatz Telletxea, Estibaliz Sánchez, Belén Iturre, Luis Antonio Aguirre, Juan Ramón Velilla, Eduardo Estefanía



133 *Evaluación de un cuestionario para la asignación del riesgo individual en el desarrollo de las enfermedades periodontales*

Jorge Serrano, David Herrera

Normas de publicación: 144

An Asian perspective of periodontology. pg. 11-13 Bartold, Mark P.; Meng, Huanxin

Traditional therapies in the management of periodontal disease in India and China.
pg. 14-24 Surathu, Nitish; Kurumathur, Arun V.

Epidemiology of periodontitis in the Asia and Oceania regions. pg. 25-64 Corbet,
Esmonde F.; Leung, Keung W.

Syndromes as they relate to periodontal disease. pg. 65-86 Haritha, Avula; Jayakumar,
Avula

Genetic study of families affected with aggressive periodontitis. pg. 87-101 Meng,
Huanxin; Ren, Xiuyun; Tian, Yu

Gene polymorphisms and periodontitis. pg. 102-124 Zhang, Jincai; Sun, Xi; Xiao, Limin

An update on innate defense molecules of human gingiva. pg. 125-142 Jin, Lijian

Innate antiviral immunity of periodontal tissue. pg. 143-153 Mahanonda, Rangisini; Sa-
Ard-lam, Noppadol; Rerkyen, Pimprapa

Role of mechanical stress on the function of periodontal ligament cells. pg. 154-165
Pavasant, Prasit; Yongchaitrakul, Tussanee

Current and future periodontal tissue engineering. pg. 166-187 Izumi, Y.; Aoki, A.;
Yamada, Y.

Periodontal tissue regeneration by signaling molecule(s): what role does basic
fibroblast growth factor (FGF-2) have in periodontal therapy?. pg. 188-208 Murakami,
S.

A canine model for histometric evaluation of periodontal regeneration. pg. 209-226
Kim, C.S.; Um, Y.J.; Chai, J.K.

Influence of periodontal intervention therapy on risk of cardiovascular disease. pg.
227-257 Ying Ouyang, X.; Mei Xiao, W.; Chu, Y.

Relationship between periodontal disease and diabetes mellitus: an Asian perspective.
pg. 258-268 Taiyeb-Ali, T. B.; Raman, R.P. Cheta; Vaithilingam, R.D.

EDICIÓN ESPAÑOLA
QUINTESSENCE
PUBLICACIÓN INTERNACIONAL DE ODONTOLOGÍA

Volumen XXIV, Número 6, Junio-Julio 2011

Odontología conservadora		
269	Enmascaramiento de caries de esmalte vestibular con infiltraciones de resina	<i>S. Paris y H. Meyer-Lückel</i>
<hr/>		
Periodoncia		
275	Enfermedades periodontales y su tratamiento en los pacientes ancianos	<i>P. Holm-Pedersen y F. Müller</i>
<hr/>		
Odontopediatría		
284	Ansiolisis y sedación con óxido nitroso (gas hilarante) en odontopediatría	<i>J. Esch</i>
<hr/>		
Prótesis		
292	Restauraciones de dióxido de zirconio CAD/CAM sin recubrimiento	<i>F. Schneider, F. Siebert, J. Setz y A. Boeckler</i>
<hr/>		
Implantes		
304	El implante unitario en el sector anterosuperior	<i>M. Yildirim y B. Wessing</i>
<hr/>		
Patología oral		
319	Diagnóstico diferencial de patologías de la mucosa oral	<i>W. Bengel</i>
<hr/>		
Patología oral		
320	Diagnóstico diferencial de patologías de la mucosa oral	<i>W. Bengel</i>
<hr/>		
Radiología		
321	Interpretación de radiografías	<i>D. Schulze</i>
<hr/>		
Higienistas y auxiliares: odontología		
323	Necrosis de los maxilares asociada a bifosfonatos	<i>C. Nobel</i>

Fundada en 1971 por:
JOSÉ A. CANUT

DIRECTOR EMÉRITO

ARTURO COSTA

DIRECTOR

ANDREU PUIGDOLLERS

Buenos Aires, 15-17, 1º 3º
08029 Barcelona

andreu.puigdollers@permanyer.com

DIRECTORA ADJUNTA

MONTSERRAT DíEZ-CASCÓN

General Mitre, 36
08017 Barcelona

montse.diez@permanyer.com

ASESOR DEL DIRECTOR

JOSÉ CANUT

COMITÉ DE REDACCIÓN

Juan Canut
Ana Molina
Marcos Costa
Fernando de la Iglesia
José L. Gandía

**DIRECTOR
DE LA EDICIÓN DIGITAL**

Javier Fernández-Bozal

COMITÉ CIENTÍFICO

Luis A. Bravo
Universidad de Murcia
Juan Cobo
Universidad de Oviedo
David Suárez
Universidad de Santiago
Joaquín Travesí
Universidad de Granada
Miguel Urizar
Universidad del País Vasco
M. Teresa Vilar
Universidad de Barcelona
Eliseo Plasencia
Universidad de Valencia

Sumario

EDITORIAL

Más investigación y conocimiento sobre la tomografía
computarizada de haz cónico

Andreu Puigdollers

3

ARTÍCULO

Diagnóstico de imagen dental, dosis y riesgos
(con hincapié en dosimetría de la tomografía
computarizada de haz cónico)

John B. Ludlow

5

ARTÍCULO ORIGINAL

Evaluación de las dosis de radiación con los sistemas
de tomografía computarizada de haz cónico en ortodoncia

*Natalia Zamora Martínez, Vanessa Paredes Gallardo,
Rosa María Cibrián Ortiz de Anda, José Luis Gandía Franco*

17

Efectividad de un programa informático para la medición
del tamaño dentario mediante *cone beam*

*Gloria González Montoto, Martín Puente Rodríguez,
Eliseo Plasencia, Luis Carlos Hernández, Luciano Galbán,
Vicente Martínez*

23

Funcionamiento de la TC médica y de la TC de haz cónico
en odontología. ¿Qué debemos saber?

*Natalia Zamora Martínez, Vanessa Paredes Gallardo,
Rosa María Cibrián Ortiz de Anda, José Luis Gandía Franco*

31

Manual práctico para el ortodoncista del estudio
de la radiografía *cone beam* (guía práctica)

*Paloma Valero Remohí, Neus Garriga Turon,
Ana Molina Coral, Andreu Puigdollers Pérez*

39

Frecuencia de la *Candida albicans* en niños
que utilizan aparatos de ortodoncia removible

Şirin Nevzatoglu, Nazan Küçükkeleş, Tanju Kadir

49

REVISTA DE REVISTAS

*Joan Rossell Capell, Laia Aguilar Almirall,
Nuria Clusellas Barrionuevo*

54

DIRECTORIO

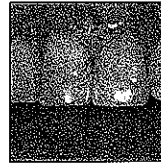
57

Contenidos

- 5 Editorial: La estimación de la supervivencia; cómo la colocación de implantes debe hacerse de forma correcta

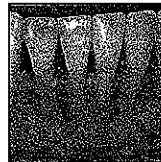
Thomas B. Dodson

- 6 Cambios en la anchura del margen crestal al colocar los implantes en el momento de la extracción dental con y sin aumento de tejido blando después de un período de cicatrización de 6 meses: informe de 24 casos consecutivos



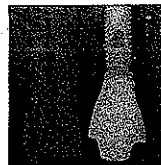
Ueli Grunder

- 16 Técnica de aumento de tejido duro y blando en un paciente postortodóncico: estudio de un caso



Fred J. Bonacci

- 26 ¿¿Conservar un diente natural o colocar un implante?: tres criterios de decisión para llevar a cabo un tratamiento periodontal correcto



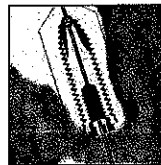
Giano Ricci
Andrea Ricci
Caterina Ricci

- 36 Viabilidad de la matriz de hueso desmineralizado y las esquirlas de hueso esponjoso junto con una membrana de matriz extracelular para la preservación de la cresta alveolar: casos clínicos



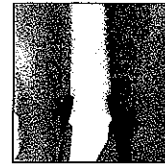
David M. Kim
Myron Nevins
Marcelo Camelo
Peter Schupbach
Soo-Woo Kim
Joao Marcelo Borges Camelo
Khalid Al Hezaimi
Marc L. Nevins

- 46 Protocolo para la colocación inmediata de una prótesis provisional prefabricada retenida mediante tornillos utilizando tomografía computarizada y cirugía guiada e incorporando una alveoloplastia planificada



Stephen F. Balshi
Glenn J. Wolfinger
Thomas J. Balshi

54 Colocación inmediata de implantes
Strauman Bone Level: casos clínicos



Roberto di Felice
Maurizio d'Amario
Alessandro de Dominicis
Santo Garocchio
Camillo d'Arcangelo
Mario Giannoni

64 Evaluación de la eficacia de una nueva técnica
de conservación de la pared ósea vestibular:
estudio piloto



Federico Brugnamì
Alfonso Caiazzo

72 Reimplante intencional de dientes periodontalmente
insalvables utilizando una combinación
de derivados de matriz adamantina y aloinjertos
óseos liofilizados desmineralizados



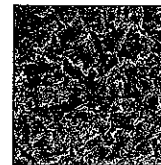
Esra Baltacıoğlu
Tamer Taşdemir
Pinar Yuva
Davut Çelik
Erkan Şüküroğlu

80 Reconstrucción de los tejidos blandos
del maxilar anterior mediante colgajo palatino
vascularizado con vasos incisivos



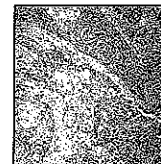
Alfredo Martínez-García
Javier Mareque Bueno

88 Estudio *in vitro* con microscopía electrónica
de barrido sobre el efecto de la aplicación de Carisolv
en superficies radiculares con patología periodontal



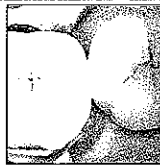
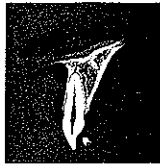



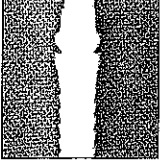


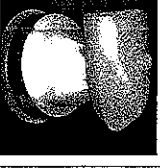


Ana Vitória Imbroni
Osmar Okuda
Cristiane Versuti del Cioppo
Victor E. Arana-Chavez

94 Carcinoma escamocelular gingival que imita
una enfermedad periodontal



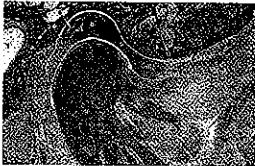
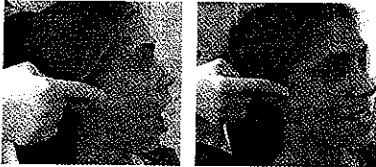

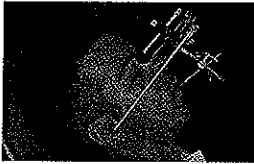

Ana Paula S. Molina
Fabiano R. Cirano
José Magrin
Fabio A. Alves

Contenido

113	Nuevos materiales como complemento de los métodos terapéuticos tradicionale		Sergio de Paoli Paul Fugazzotto
114	Restauración biológica: Efectos de los <i>inlays</i> de composite en el plan terapéutico del paciente		Stefano Bottacchiari Sergio de Paoli Paul A. Fugazzotto
124	Espesor de la pared ósea vestibular del maxilar anterior: estudio radiográfico retrospectivo utilizando tomografía computerizada de haz cónico		Vedrana Braut Michael M. Bornstein Urs Belser Daniel Buser
132	Injerto de tejido conectivo subepitelial para el tratamiento de las recesiones gingivales con derivados de matriz del esmalte y sin ellos: un ensayo clínico comparativo (controlado) aleatorio multicéntrico		Giulio Rasperini Mario Rocuzzo Luca Francetti Raffaele Acunzo Dario Consonni Maurizio Silvestri
140	Expansores óseos roscados: consideraciones técnicas e informe de caso		Renato Sussumu Nishioka Alberto Noriyuki Kojima
148	La matriz de injerto que contiene células progenitoras favorece la regeneración periodontal: reporte de un caso		Bradley S. McAllister
156	Evaluaciones clínicas e histológicas piloto de un implante de circonio de dos piezas		Myron Nevins Marcelo Camelo Marc L. Nevins Peter Schubbach David M. Kim
164	Tratamiento de la recesión gingival en la mandíbula anterior utilizando la técnica de túnel y un injerto combinado de tejido conectivo epitelizado y subepitelial		Michael Stimmelmayer Edward P. Allen Wolfgang Gernet Daniel Edelhoff Florian Beuer Markus Schlee Gerhard Iglhaut
174	Colocación y provisionalización inmediata de implantes tras fractura radicular vertical y pérdida completa de la lámina ósea		Robert Noelken Martin Kunkel Wilfried Wagner
184	Reconstrucción de la estética con un enfoque digital		Florian Beuer Josef Schweiger Daniel Edelhoff John A. Sorensen
194	Tratamiento implantológico en la zona estética: evaluación de la línea de la sonrisa		Stella Kourkouta

- 77** **Editorial: Especialidad en prótesis dental y maxilofacial**
Profesora María Jesús Suárez
- 79** **Carga de fractura de coronas totalmente cerámicas en circonio implantosoportadas y adheridas con diferentes cementos**
Hyun-Pil Lim • Jeong-Min Yoo • Sang-Won Park • Hong-So Yang
- 83** **Circonia como material del pilar para implantes dentales: revisión sistemática**
Keisuke Nakamura • Taro Kanno • Percy Milleding • Ulf Örtengren
- 95** **Comportamiento clínico de las prótesis completas: estudio retrospectivo**
Stefan Dorner • Florian Zeman • Michael Koller • Reinhold Lang • Gerhard Handel • Michael Behr
- 105** **PREMIO SEPEES GASCÓN 2010. Comportamiento de la porcelana de recubrimiento en coronas de óxido de circonio tras someterlas a carga estática**
Rubén Agustín Panadero • Antonio Fons Font • María Granell Ruíz • María Fernanda Solá Ruíz • Carlos Labaig Rueda
- 113** **Estudio clínico comparativo de 15 años de la tasa de supervivencia acumulativa de muñones colados y muñones de resina, cementados con cemento de resina adhesiva**
Takayuki Hikasa • Yoshizo Matsuka • Atsushi Mine • Hajime Minakuchi • Emilio Satoshi Hara • Bart Van Meerbeek • Hirofumi Yatani • Takuo Kuboki
- 123** **Estudio comparativo de dos sistemas de medición de ajuste para estructuras coladas en cobalto-cromo (Co-Cr)**
Miriam Urda Dorado • Javier Alejandro Frías Dasilva • Miguel Ángel Gómez Polo • María Antonia Rivero González • Juan Antonio Martínez Vázquez de Parga • Alicia Celemín Viñuela
- 131** **Filtración marginal cuasi tridimensional en coronas de recubrimiento completo: revestimiento de resina frente a tratamiento con hipoclorito sódico**
Daizo Kawahara • Atsushi Mine • Jan de Munck • Takuo Kuboki • Yasuhiro Yoshida • Kazuomi Suzuki • Bart Van Meerbeek • Hirofumi Yatani
- 135** **Informe preliminar sobre el diseño de estructuras para prótesis parciales removibles utilizando un sistema informático específicamente desarrollado**
Jing Han • Yong Wang • Peijun Lü
- 141** **Pérdida ósea marginal con sobredentaduras mandibulares sobre dos implantes utilizando diferentes protocolos de carga y sistemas de anclaje: resultados a 10 años**
Sunyoung Ma • Andrew Tawse-Smith • W. Murray Thomson • Alan G.T. Payne
- 155** **Sobredentaduras: ¿sobre bolas o barras?**
Montero J • Albaladejo A • Lobato M • López-Valverde A • Gómez de Diego R • Blanco L • Portillo M

T A B L E D E S M A T I È R E S

- 119** Éditorial.
J.-D. ORTHLIEB
- 121** Présentation du numéro.
Orthopédie dento-faciale et dysfonctionnements de l'appareil manducateur (DAM) : *primum non nocere*.
P. AMAT
- 125** Résumés et mots-clés des articles en version anglaise.
- 127** 
L'ATM : le sens du mouvement.
P. CARPENTIER, R. FELIZARDO, J.-P. YUNG, G. CLÈDES
- 143** 
Désordres temporo-mandibulaires et cervicaux : place de l'examen clinique.
A. CHANLON, H. BEDOUI, B. FLEITER
- 159** L'urgence des dysfonctionnements de l'appareil manducateur.
O. LAPLANCHE, P. PEDEUTOUR, G. DUMINIL, E. HERMANN
- 175** 
Prise en charge thérapeutique des DAM par rééducation maxillo-faciale intégrée à une éducation thérapeutique du patient : pourquoi, quand, comment ?
P. AMAT
- 197** Dysfonctionnement de l'appareil manducateur et malocclusions : existe-t-il une relation ?
Revue systématique de la littérature de 2000 à 2009.
L. BELOTTE-LAUPIE, M. SAYAGH, A. MANIÈRE-EZVAN
- 207** 
Finitions occlusales, occlusion fonctionnelle, élastopositionnement. Pourquoi, comment ?
A propos d'un cas.
D. DEROZE, J. LACOUT
- 221** **Rubrique orthopratique.**
Occlusodontie. Comment trouver plus aisément les points de contact ?
D. ROZENCWEIG, G. ROZENCWEIG, S. ROZENCWEIG
- 223** **Bon à savoir.**
Les incidences pratiques de la réforme des tutelles de 2007 sur la prise en charge des soins de la personne en situation de handicap.
S. MOUSSA-BADRAN, A. BÉRY
- 233** 
Cas cliniques.
Traitement d'un cas sévère de classe III.
M. SEBBAR, L. OUSEHAL
- 243** Compte rendu de la formation du 31 mars 2011.
O. SOREL
- 245** Revue de Presse.
A. BENAUWT, A. SOULET
- 248** Courrier des lecteurs.
- 249** Revue de Livres.
S. CAROLUS